

# Противофазные супермоды в многосердцевидных волокнах и газонаполненных капиллярах

А.А. Балакин

Институт прикладной физики РАН

XXI Научная школа «Нелинейные волны – 2024»

# Содержание

Введение

Самозахват в бесконечной цепочке

Синфазные решения в конфигурации кольцо-центр

Противофазные решения в конфигурации кольцо

Противофазные решения в других конфигурациях

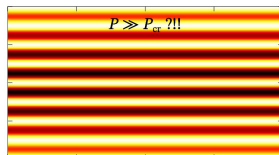
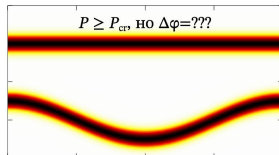
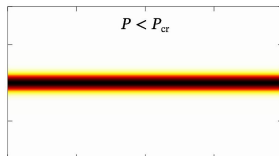
Противофазная мода в газонаполненных капиллярах

## Мотивация

Мощные пучки подвержены  
филаментационной неустойчивости  
и коллапсу при  $\mathcal{P} > \mathcal{P}_{\text{cr}}$ .

Простое разнесение в пространстве  
нарушает когерентность.

Можно ли придумать среду где  
будут устойчиво и когерентно  
распространяться пучки с  
мощностью  $\mathcal{P} \gg \mathcal{P}_{\text{cr}}$ ?



## Дискретное уравнение Шредингера

Исходное уравнение:  $i \frac{\partial U}{\partial z} + \Delta U + \epsilon U + \beta |U|^2 U = 0$ .

Соответствующий исходный лагранжиан

$$\mathcal{L} = \int \left[ \frac{i}{2} \left( U \frac{\partial U^*}{\partial z} - U^* \frac{\partial U}{\partial z} \right) + |\nabla U|^2 - \epsilon |U|^2 - \frac{\beta}{2} |U|^4 \right] dx.$$

Для поля в виде  $U = \sum u_n f(x - x_n)$  получаем

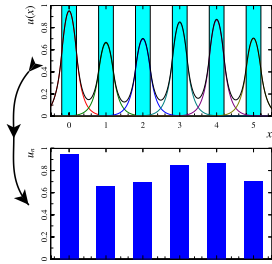
$$\bar{\mathcal{L}} \approx \sum \frac{i}{2} \left( u_n \frac{\partial u_n^*}{\partial z} - u_n^* \frac{\partial u_n}{\partial z} \right) - \chi (u_{n+1} u_n^* + u_{n+1}^* u_n) - \frac{\beta}{2} |u_n|^4.$$

Дискретный НУШ

$$i \frac{\partial u_n}{\partial z} + \chi (u_{n+1} + u_{n-1}) + \beta |u_n|^2 u_n = 0.$$

Закон сохранения энергии

$$\mathcal{P} = \int |U|^2 dx \equiv \chi \sum |u_n|^2 = \text{const.}$$



## Уравнение для импульсов

Волновое уравнение

$$\frac{\partial^2 \mathcal{E}}{\partial z^2} + \Delta_{\perp} \mathcal{E} - \frac{\varepsilon_0}{c^2} \frac{\partial^2 \mathcal{E}}{\partial t^2} - \frac{\varepsilon_L}{c^2} \mathcal{E} + \frac{\varepsilon_H}{c^2} \frac{\partial^4 \mathcal{E}}{\partial t^4} = \frac{\varepsilon_N}{c^2} \frac{\partial^2 |\mathcal{E}|^2 \mathcal{E}}{\partial t^2}.$$

имеет действие, записанное для потенциала  $\mathcal{E} = -\partial_t \mathcal{A}$

$$S = \int \left[ \frac{\varepsilon_0}{c^2} \left| \frac{\partial \mathcal{A}}{\partial t} \right|^2 - \frac{\varepsilon_L}{c^2} |\mathcal{A}|^2 + \frac{\varepsilon_H}{c^2} \left| \frac{\partial^2 \mathcal{A}}{\partial t^2} \right|^2 - \left| \frac{\partial \mathcal{A}}{\partial z} \right|^2 + \frac{\varepsilon_N}{2c^2} \left| \frac{\partial \mathcal{A}}{\partial t} \right|^4 - |\nabla_{\perp} \mathcal{A}|^2 \right] d\mathbf{r} dt.$$

Представляя в виде суммы  $\mathcal{A} \approx \sum \mathcal{A}_n(z, t) \phi(\mathbf{r} - \mathbf{r}_n)$  и считая перекрытие полей малым  $\zeta = \frac{\int \phi \phi_+ dxdy}{\int \phi^2 dxdy} \ll 1$  ( $\phi = \phi(\mathbf{r})$ ),  $\phi_+ = \phi(\mathbf{r} + \mathbf{d})$ , получаем укороченное действие

$$S \approx \sum_n \iint \left[ \left| \frac{\partial \mathcal{A}_n}{\partial t} \right|^2 A_0 + \left( \frac{\partial \mathcal{A}_n^*}{\partial t} \frac{\partial \mathcal{A}_{n+1}}{\partial t} + c.c. \right) A_1 - |\mathcal{A}_n|^2 B_0 - \right. \\ \left. - (\mathcal{A}_n^* \mathcal{A}_{n+1} + c.c.) B_1 - \left| \frac{\partial \mathcal{A}_n}{\partial z} \right|^2 D_0 - \left( \frac{\partial \mathcal{A}_n^*}{\partial z} \frac{\partial \mathcal{A}_{n+1}}{\partial z} + c.c. \right) D_1 + \right. \\ \left. + \left| \frac{\partial^2 \mathcal{A}_n}{\partial t^2} \right|^2 C_0 + \left( \frac{\partial^2 \mathcal{A}_n^*}{\partial t^2} \frac{\partial^2 \mathcal{A}_{n+1}}{\partial t^2} + c.c. \right) C_1 + \left| \frac{\partial \mathcal{A}_n}{\partial t} \right|^4 \frac{N_0}{2} \right] dt dz.$$

## Уравнение для импульсов

Возвращаясь к полям  $\mathcal{E}_n = -\partial_t \mathcal{A}_n$  получаем уравнение

$$\left( D_0 \frac{\partial^2}{\partial t^2} - A_0 \frac{\partial^2}{\partial z^2} - C_0 \frac{\partial^4}{\partial t^4} \right) [\mathcal{E}_n + \zeta \mathcal{E}_{n-1} + \zeta \mathcal{E}_{n+1}] + \\ + B_0 \mathcal{E}_n + B_1 (\mathcal{E}_{n-1} + \mathcal{E}_{n+1}) + N_0 \frac{\partial^2}{\partial t^2} (|\mathcal{E}_n|^2 \mathcal{E}_n) = 0.$$

Полагая поле плавным  $|\partial_z \mathcal{E}_n| \ll \frac{1}{V} |\partial_\tau \mathcal{E}_n|$  в сопровождающей системе координат  $\tau = t \pm Vz$ , получаем *однонаправленное волновое уравнение* для  $U_n = \mathcal{E}_n + \zeta \mathcal{E}_{n-1} + \zeta \mathcal{E}_{n+1}$ :

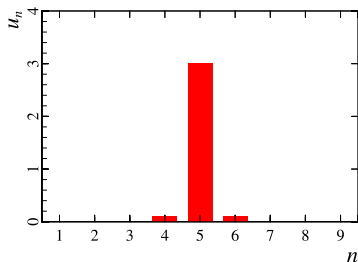
$$\frac{\partial^2 U_n}{\partial z \partial \tau} + \sigma U_n - X (U_{n-1} + U_{n+1}) - \mu \frac{\partial^4 U_n}{\partial \tau^4} + \eta \frac{\partial^2}{\partial \tau^2} (|U_n|^2 U_n) = 0.$$

Здесь  $V = \sqrt{\frac{A_0}{D_0}}$ ,  $\sigma = \frac{B_0}{2\sqrt{A_0 D_0}}$ ,  $\mu = \frac{C_0}{2\sqrt{A_0 D_0}}$ ,  $\eta = \frac{N_0}{2\sqrt{A_0 D_0}}$  и

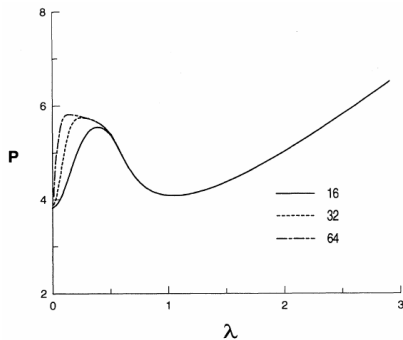
$$X = \frac{\zeta B_0 - B_1}{2\sqrt{A_0 D_0}} \approx \iint \frac{(\nabla_\perp \phi)^2 \zeta - \nabla_\perp \phi \nabla_\perp \phi}{2\sqrt{A_0 D_0}} dx dy > 0.$$

## Особенности дискретной задачи

Основная особенность –  
наличие локализованных мод  
как в 1D случае.



D.N. Christodoulides, R.I. Joseph,  
Opt.Lett. **13**, 794 (1988).



Laedke E.W., Spatschek K.H.,  
Mezentsev V.K., Musher S.L.,  
Ryzhenkova I.V., Turitsyn S.K.,  
Письма ЖЭТФ, **62**, 652 (1995).

## Дискретный коллапс

Будем искать решение в классе гауссовых функций

$$u_n = \sqrt{\frac{P}{\sqrt{\pi}a}} \exp \left[ -\frac{n^2}{2a^2} + ibn^2 + i\theta \right].$$

Уравнения для параметров имеют вид:

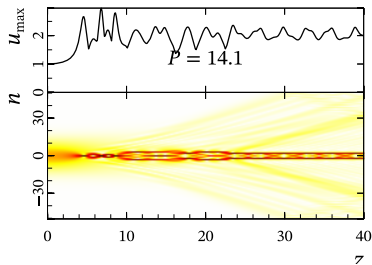
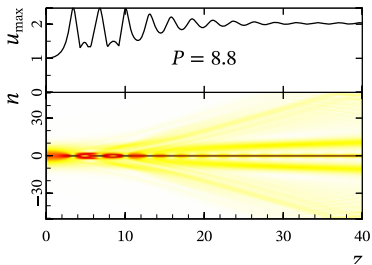
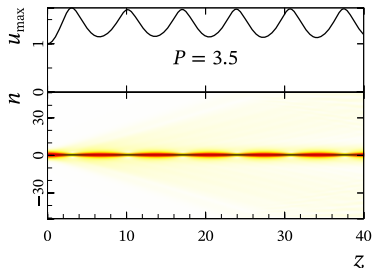
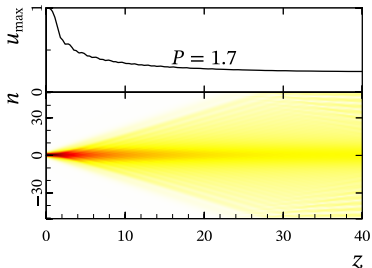
$$\begin{aligned} \dot{a} &= 4ba e^{-b^2 a^2 - \frac{1}{4a^2}}, \\ \dot{b} &= \left( \frac{1}{a^4} - 4b^2 \right) e^{-b^2 a^2 - \frac{1}{4a^2}} - \frac{P}{\sqrt{8\pi}a^3}. \end{aligned}$$

При  $P = P_m \equiv 4\sqrt{\pi/e} \approx 4.3$  происходит бифуркация – появляется самозахват поля.

Это отвечает реальной мощности  $P_m = \chi P_m \ll P_{cr}$ .



# Численное моделирование



## Стохастическая динамика

Инкремент неустойчивости  
решения  $u_n = u_0 e^{-i(\beta|u_0|^2 + 2)z}$ :

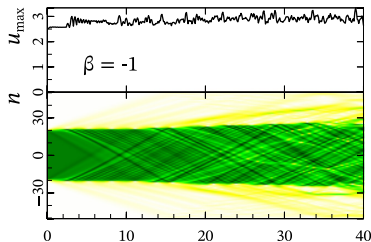
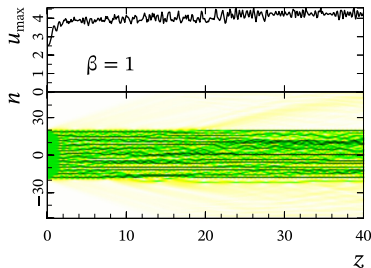
$$\Gamma^2 = 4 \sin^2\left(\frac{\kappa}{2}\right) \left(2\beta|u_0|^2 - 4 \sin^2\left(\frac{\kappa}{2}\right)\right).$$

имеет максимум при  $\kappa = \pi$  для  
 $\beta|u_0| \geq \sqrt{2}$ . Взаимодействие  
между «соседями» слабо, если  
разность фаз больше  $\pi$ . Это  
ограничивает амплитуду поля:

$$|\beta u_{\max}^2 - \beta |u_n|^2| \sim \pi \Rightarrow$$

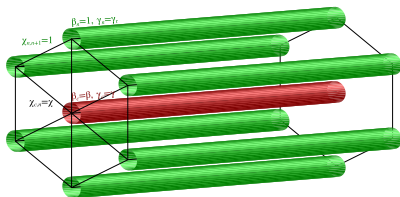
$$u_{\max} \sim \sqrt{\frac{2\pi}{|\beta|} + |u_0|^2} \gtrsim \sqrt{\frac{2\pi}{|\beta|}}$$

независимо от типа  
нелинейности.



## Малоразмерные системы

Рассмотрим систему из малого числа связанных световодов, которая проще в создании и анализе волновой динамики.



Уравнение для синфазной моды примет вид

$$i\frac{\partial a}{\partial z} = 2N\chi f + |a|^2 a, \quad i\frac{\partial f}{\partial z} = \chi a + 2f + |f|^2 f.$$

Закон сохранения  $P = |a|^2 + 2N|f|^2 = \text{const}$  и замена  $a = \sqrt{PA}e^{i(\phi+\theta)}$ ,  $f = \sqrt{(1-A)P/2N}e^{i\phi}$  позволяют свести задачу к системе двух уравнений

$$\frac{dA}{dz} = -2\chi\sqrt{2N}\sqrt{A-A^2}\sin\theta,$$

$$\frac{d\theta}{dz} = \sqrt{2N}\chi\frac{2A-1}{\sqrt{A-A^2}}\cos\theta - \frac{(2N+1)PA}{2N} + \frac{P}{2N} + 2.$$

# Изотропный случай. Фазовая плоскость

Имеются три центра

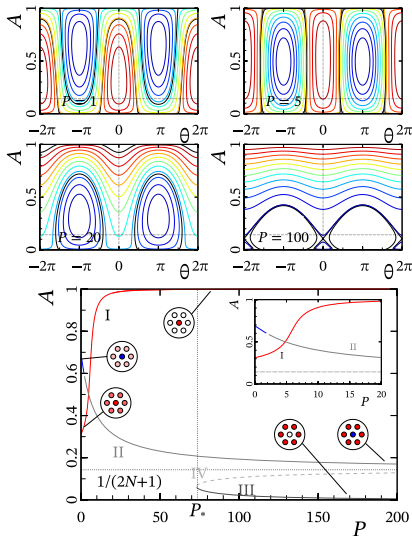
$$A_I \approx 1 - \frac{2N}{P^2},$$

$$A_{II} \approx \frac{1}{2N+1} + \frac{2N}{P},$$

$$A_{III} \approx \frac{8N^3}{P^2}.$$

Из них азимутально устойчивы только  $A_I$  (всегда) и  $A_{II}$  (при  $P \lesssim \pi$ ).

**ВЫВОД:** Мощные пучки передавать плохо!



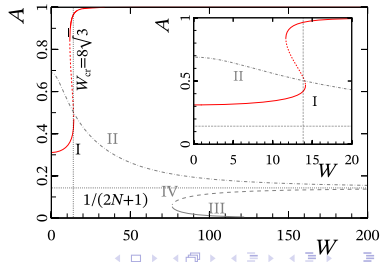
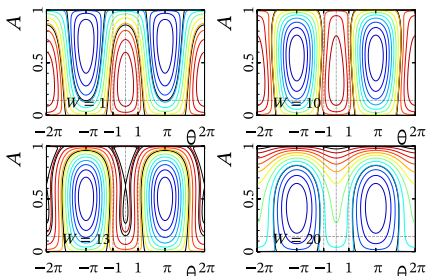
## Солитоны в изотропном случае

Анализ устойчивости решения удобно проводить в рамках *вариационного приближения*. В классе функций:

$$a = \sqrt{\frac{CA}{2\tau_p}} e^{i\varphi + i\theta} f(\tau), \quad f_0 = \sqrt{\frac{C(1-A)}{4N\tau_p}} e^{i\varphi} f(\tau), \quad f(\tau) = \frac{e^{i\sigma\tau^2}}{\cosh(\tau/\tau_p)}.$$

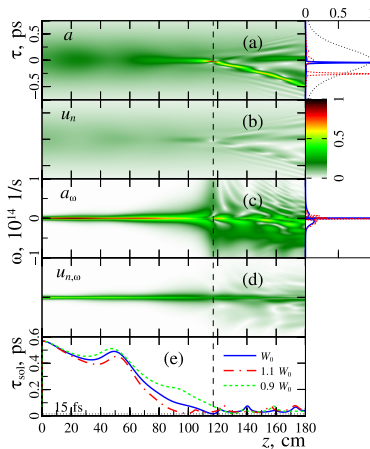
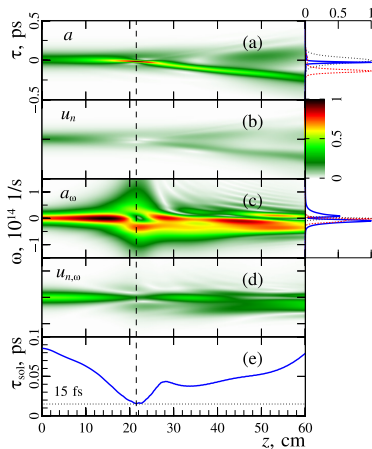
стационарные точки существует при  $\sigma = 0$ ,  $\theta = 0|\pi$  и

$$\tau_p = \frac{4}{C} \frac{2N}{2NA^2 + (A-1)^2}$$



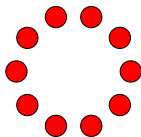
## Численное моделирование

Моделирование выполнено для начальных параметров: 85 фс и 4 нДж; 570 фс и 8 нДж. Выходной солитон-подобный импульс имел длительность 15 фс и энергию около 4 нДж.



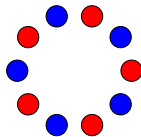
## Сравнение супермод

Синфазное распределение



$$u_n = f_0 e^{-i(2+|f_0|^2)z}$$

Противофазное распределение



$$u_n = (-1)^n f_N e^{i(2-|f_N|^2)z}$$

Исследуем распределения поля в кольце на устойчивость:

$$u_n = [f_0 + \delta_m e^{i\lambda z + i\kappa_m n}] e^{-i(2+|f_0|^2)z}, \quad u_n = [(-1)^n f_N + \delta_m e^{i\lambda z + i\kappa_m n}] e^{i(2-|f_N|^2)z}$$

$$\lambda^2 = (|f_0|^2 - 4 \sin^2 \frac{\kappa_m}{2})^2 - |f_0|^4 \geq 0$$

Устойчиво лишь при **малых**  
амплитудах поля  $f_0$ 

$$|f_0|^2 \leq 2 \sin^2 \frac{\pi}{2N}, \quad |\delta_m| \ll |f_0|$$

$$\lambda^2 = (4 \cos^2 \frac{\kappa_m}{2} + |f_N|^2)^2 - |f_N|^4 \geq 0.$$

Устойчиво для **всех** амплитуд  
поля  $f_N$ .

## Малая деформация

Дискретный НУШ с деформациями

$$i \frac{\partial u_n}{\partial z} + \chi(u_{n+1} + u_{n-1}) + \beta |u_n|^2 u_n + h_n u_n = i \gamma_n u_n.$$

Изгиб меняет постоянную распространения

$$h_n = D \sin \frac{\pi n}{N} \ll 1$$

Решение будет ( $|\delta_n| \ll 1$ ):

$$u_n = f_N e^{i(2-f_N^2)z} [(-1)^n + \delta_n],$$

$$\delta_n \approx -D \frac{(-1)^n \sin \frac{\pi n}{N}}{4 \sin^2 \frac{\pi}{2N} + 2f_N^2}.$$

Изменение коэффициента усиления

$$\gamma_n = \gamma + G \sin \frac{\pi n}{N} \ll 1$$

Решение будет ( $|\delta_n| \ll 1$ ):

$$u_n = f_N e^{\gamma z + 2iz - i \frac{e^{2\gamma z}}{2\gamma}} [(-1)^n + \delta_n],$$

$$\delta_n \approx -G \frac{i(-1)^n \sin \frac{\pi n}{N}}{4 \sin^2 \frac{\pi}{2N}}.$$

Доля мощности в возмущенной части пропорциональна  $|\delta_n|^2$  из-за ортогональности возмущений и моды  $(-1)^n$



## Малая деформация

Доля мощности в возмущениях  
при изгибе волокна

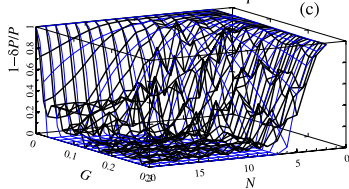
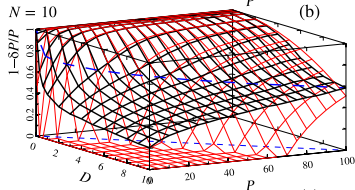
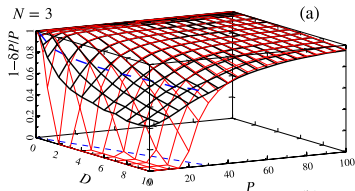
$$\frac{\delta P}{P} = \frac{D^2}{4(4 \sin^2 \frac{\pi}{2N} + P/N)^2}.$$

Большая часть мощности  
содержится в ±-моде при

$$P \gg P_{\text{th}} \equiv DN.$$

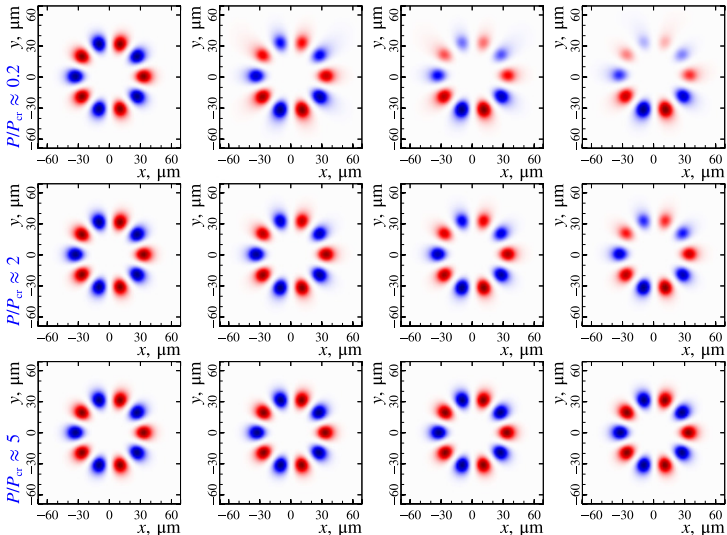
Доля мощности в возмущениях  
при неоднородном усилении

$$\frac{\delta P}{P} = \frac{G^2}{64 \sin^4 \frac{\pi}{2N}}.$$



## Сильная деформация

С ростом полной мощности противофазная мода стремится к равномерному распределению интенсивности по всем ядрам.



## Солитонное решение

В квазимонохроматическом пределе

$$i \frac{\partial u_n}{\partial z} = u_{n-1} + u_{n+1} + \frac{\partial^2 u_n}{\partial \tau^2} + |u_n|^2 u_n,$$

на противофазной супермоды амплитуды поля одинаковы. Это позволяет построить *точное* солитонное решение:

$$u_n = (-1)^n f(\tau) e^{i(2-\Omega)z},$$

где функция  $f$  удовлетворяет уравнению ( $\Omega$  – параметр)

$$\partial_{\tau\tau} f + f^3 - \Omega f = 0.$$

Его решение при  $\Omega > 0$  имеет вид солитона

$$f(\tau) = \frac{\sqrt{2\Omega}}{\cosh \sqrt{\Omega}\tau}.$$

Энергия  $W = \int 2N|u_n|^2 d\tau \equiv 8N\sqrt{\Omega}$  и длительность  $\tau_s = 1/\sqrt{\Omega}$  солитона связаны соотношением:  $\tau_s = 8N/W$ .

## Второй метод Ляпунова

2-ой метод Ляпунова: многообразие решений устойчиво, если есть функционал Ляпунова  $\mathcal{F}[u]$ :

1. всегда положителен  $\mathcal{F}[u] \geq 0$ ;
2. производная меньше или равна нулю  $\frac{d}{dz}\mathcal{F}[u] \leq 0$ ;
3. равен нулю *только* на данном многообразии  $\mathcal{F}[u_s] = 0$ .

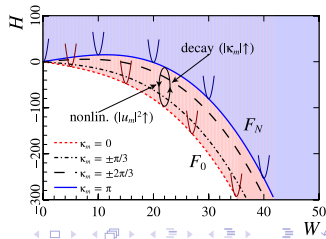
Интегралы задачи

$$\mathcal{H} = \sum \int \left[ \left| \frac{\partial u_n}{\partial \tau} \right|^2 - \frac{|u_n|^4}{2} - \chi(u_n u_{n+1}^* + u_{n+1} u_n^*) \right] d\tau, \quad W = \sum \int |u_n|^2 d\tau.$$

Минимум  $\mathcal{H}$  при  $W = \text{const}$  для  $u_n^{(m)} = e^{i\kappa_m n} \frac{\sqrt{2\lambda_m}}{\cosh \sqrt{\lambda_m} \tau}$  дает

$$\mathcal{F}_m[u] = \left( \mathcal{H}[u] + \frac{W[u]^3}{192N^2} + 2\chi W[u] \cos \kappa_m \right)^2.$$

Распад  $\kappa_n \neq \kappa_m$  увеличивает  $\mathcal{H}$ , рост  $|u|^2$  уменьшает. Одинаковые значения  $\mathcal{H}$  и  $W$  могут иметь разные распределения. Только  $\kappa_m = \pi$  максимален  $\Rightarrow$  **±-солитоны устойчивы.**



## Сверхкороткие противофазные солитоны

Предельно короткие солитоны описываются уравнением:

$$\frac{\partial^2 U_n}{\partial z \partial \tau} + \sigma U_n - X(U_{n-1} + U_{n+1}) + \eta \frac{\partial^2}{\partial \tau^2} (|U_n|^2 U_n) = 0.$$

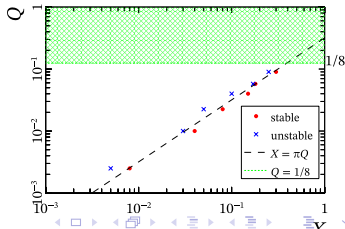
Его решение имеет вид

$$U_n(z, \tau) = \frac{(-1)^n}{\sqrt{v\eta}} f(\xi) e^{i\omega(\tau+z/v) + i \int g(\xi) d\xi}, \quad \xi = \omega(\tau - z/v),$$

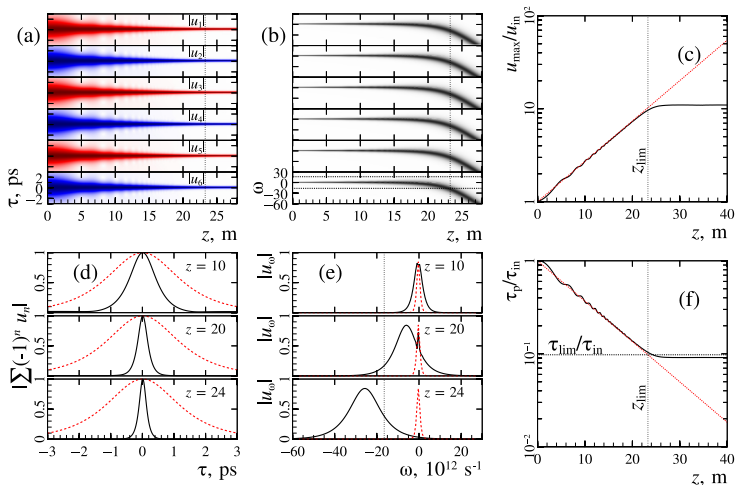
$$g = \frac{(3 - 2f^2)f^2}{2(1 - f^2)^2}, \quad \int \frac{1 - 3f^2}{f \sqrt{(1 - \frac{3}{2}f^2)(\frac{1}{\tau_p^2} - f^2 \frac{1-2f^2}{2(1-f^2)^2})}} df = \pm(\xi - \xi_0).$$

Скорость таких солитонов зависит от длительности  $(1/\tau_p^2 = (\sigma + 2X)v/\omega^2 - 1)$ . Это дает условие устойчивости:

$$X \gg \pi Q \equiv \frac{\pi}{\omega \tau_p^2}.$$



## Солитоны в активном МСФ



Расчеты выполнены для параметров:  $\tau_{\text{in}}^{\text{FWHM}} = 1$  ps,  
 $\beta = 100$  ps $^2$ /km,  $1/\gamma = 20$  m,  $1/\Omega = 30$  fs,  $\chi^{-1} = 0.3$  cm,  
 $\Gamma = 1$  (W km) $^{-1}$ .

## Противофазные решения в других конфигурациях

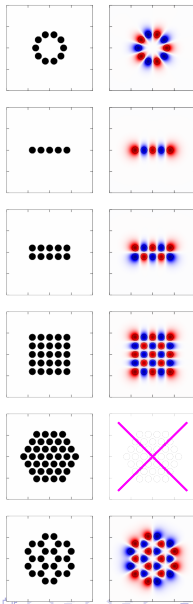
Конфигурации кольцо «полая» внутри  
— ее радиус пропорционален  $N$ .

Конфигурации одинарной и двойной  
цепочек хороши для тестирования  
ограниченных цепочек.

Прямоугольная конфигурация  
выглядит идеальной на первый взгляд.

Треугольная конфигурация не  
подходит, т.к. в ней нет противофазной  
моды в силу четности.

Гексагональная конфигурация будет ее  
возможной заменой.



## Цепочка сердцевин

Будем искать решение в виде ( $n = 1 \dots N$ ):

$$u_n(z) = s(n, z)e^{2iz}, \quad u_n(z) = (-1)^n a(n, z)e^{-2iz}.$$

В пределе  $\frac{1}{|a|} \left| \frac{\partial a}{\partial n} \right|, \frac{1}{|s|} \left| \frac{\partial s}{\partial n} \right| \ll \pi$  приходим к уравнениям

$$i \frac{\partial s}{\partial z} + \frac{\partial^2 s}{\partial n^2} + |s|^2 s = 0, \quad i \frac{\partial a}{\partial z} - \frac{\partial^2 a}{\partial n^2} + |a|^2 a = 0,$$

$$s(0, z) = s(N + 1, z) = a(0, z) = a(N + 1, z) = 0.$$

Стационарные решения  $a = a_0 A(\varkappa n) e^{-i\lambda z}$  и  $s = a_0 S(\varkappa n) e^{-i\lambda z}$ :

$$\begin{aligned} \frac{\partial^2 S}{\partial n^2} + \lambda S + S^3 = 0, & \Rightarrow S = \operatorname{cn}(\varkappa n, m); \\ -\frac{\partial^2 A}{\partial n^2} + \lambda A + A^3 = 0, & \Rightarrow A = \operatorname{sn}(\varkappa n, m). \end{aligned}$$

Параметры находятся из уравнения

$$2m\varkappa^2 = a_0^2, \quad (N + 1)\varkappa = 2K(m), \quad \lambda = (1 + m)\varkappa^2.$$



## Длинноволновое приближение

Асимптотики для параметров:

$$m \approx \begin{cases} (N+1)^2 a_0^2 / 2\pi^2, & (N+1)a_0 \ll 4; \\ 1 - 16e^{-(N+1)a_0/\sqrt{2}}, & (N+1)a_0 \gg 4, \end{cases}$$

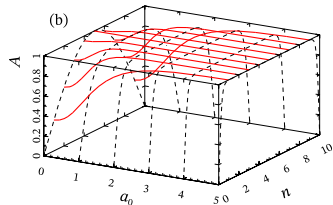
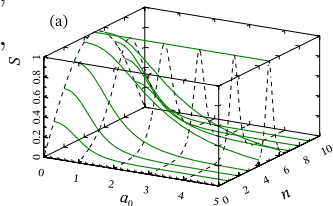
$$\varkappa = \frac{2K(m)}{N+1} \approx \begin{cases} \frac{\pi}{N+1}, & (N+1)a_0 \ll 4; \\ a_0/\sqrt{2}, & (N+1)a_0 \gg 4, \end{cases}$$

для синфазного решения:

$$|s_n| = a_0 S \approx \begin{cases} a_0 \sin \frac{\pi n}{N+1}, & (N+1)a_0 \ll 4; \\ a_0 \delta_{n, \frac{N+1}{2}}, & (N+1)a_0 \gg 4, \end{cases}$$

для противофазного решения:

$$|a_n| = a_0 A \approx \begin{cases} a_0 \sin \frac{\pi n}{N+1}, & (N+1)a_0 \ll 4; \\ a_0, & (N+1)a_0 \gg 4. \end{cases}$$



## Квадратная конфигурация

В случае квадратных матриц ( $n, m = 1 \dots N$ )

$$i \frac{\partial u_{n,m}}{\partial z} + u_{n+1,m} + u_{n-1,m} + u_{n,m+1} + u_{n,m-1} + |u_{n,m}|^2 u_{n,m} - i\gamma u_{n,m} = 0$$

противофазное решение  $u_{n,m} = (-1)^{n+m} g(n, m)$  также можно искать в длинноволновом приближении

$$|\partial g / \partial n|, |\partial g / \partial m| \ll \pi |g|$$

$$i \frac{\partial g}{\partial z} - \frac{\partial^2 g}{\partial n^2} - \frac{\partial^2 g}{\partial m^2} + |g|^2 g = 0,$$

$$g(0, m) = g(n, 0) = g(N + 1, m) = g(n, N + 1) = 0.$$

Точные аналитические решения удается найти только в предельных случаях

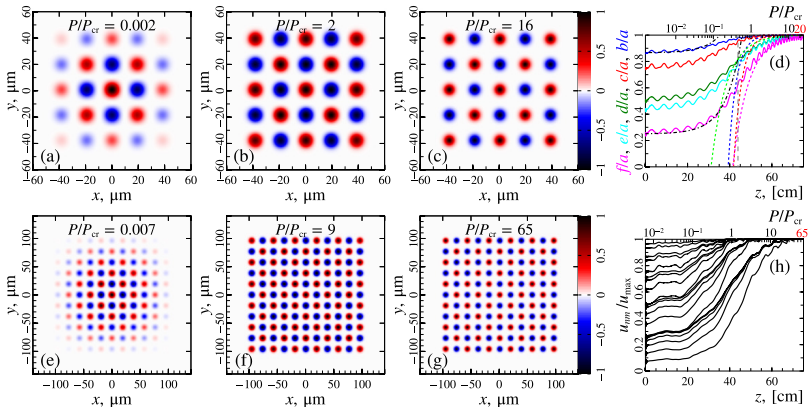
$$g(n, m) \approx G \sin \frac{\pi n}{N+1} \sin \frac{\pi m}{N+1}, \quad |G|^2 \equiv \frac{4P}{(N+1)^2} \ll 1,$$

$$g(n, m) \approx G, \quad |G|^2 \equiv \frac{P}{N^2} \gg 1.$$

# Устойчивость квадратной конфигурации

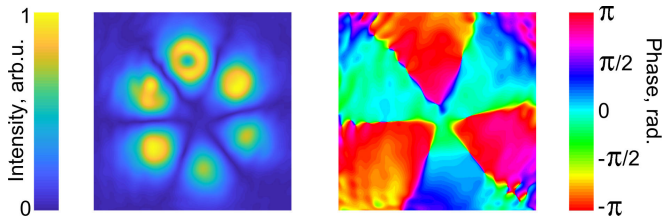
Проверим устойчивость в рамках более общего уравнения

$$ik_0 \frac{\partial \mathcal{E}}{\partial z} = \sqrt{k_0^2 n_0 + \Delta_{\perp}} \mathcal{E} + k_0^2 n_2 |\mathcal{E}|^2 \mathcal{E} + k_0^2 \delta n U(x, y) \mathcal{E}$$

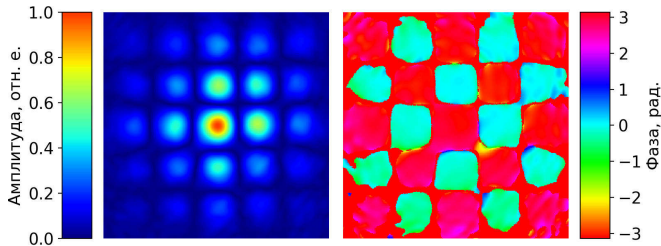


# Эксперимент

## Кольцевая конфигурация



## Квадратная конфигурация



## Солитоны в квадратной конфигурации

Малость длины связи в сравнении с дисперсионной требует малости амплитуд солитонов. Тогда решение уравнения

$$\frac{\partial^2 U_{n,m}}{\partial z \partial \tau} + \sigma U_{n,m} - X (U_{n-1,m} + U_{n+1,m} + U_{n,m-1} + U_{n,m+1}) + \eta \frac{\partial^2}{\partial \tau^2} (|U_{n,m}|^2 U_{n,m}) = 0, \quad u_{0,m} = u_{N+1,m} = u_{n,0} = u_{n,N+1} = 0.$$

можно искать в виде

$$U_{n,m} \approx f(\tau) \sin(\pi n / (N + 1)) \sin(\pi m / (N + 1)).$$

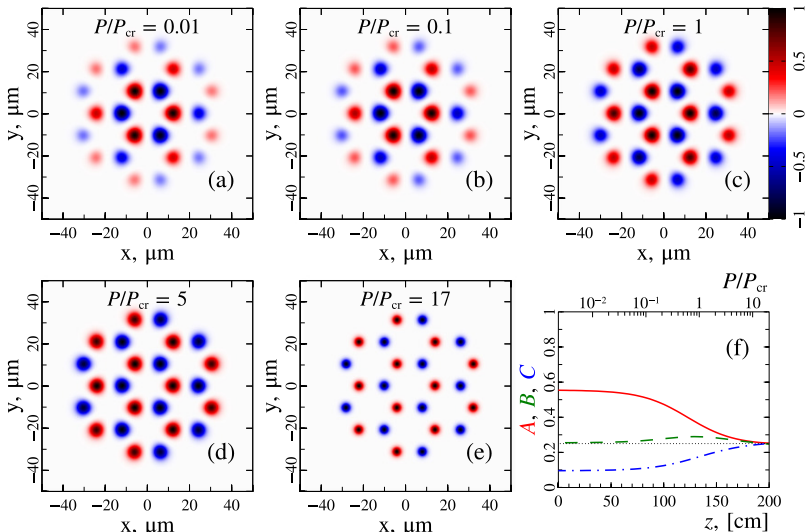
Это приводит к уравнению с известным решением

$$\frac{\partial^2 f}{\partial z \partial \tau} + \left( \sigma + 4X \cos\left(\frac{\pi}{N+1}\right) \right) f + \frac{9}{16} \eta \frac{\partial^2}{\partial \tau^2} (|f|^2 f) \approx 0.$$

Условие устойчивости будет  $X \gg (N + 1)^2 / \omega \tau_p^2$ .

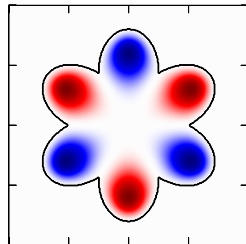
## Гексагональный МСФ из 24 сердцевин

Трансформация противофазной моды с ростом полной мощности в активном МСФ из 24 ядер.



## Газонаполненные капилляры

В газонаполненных капиллярах критическая мощность имеет ГВт уровень. Прямое обобщение противофазной моды сложно — нужен баланс потерь на излучение и сильной связи. Идея: разнести поле за счет границы  $\rho(\varphi) = a + b \frac{\sqrt{\delta^2 + \cos^2(N\varphi) - \delta}}{\sqrt{\delta^2 + 1 - \delta}}$ .



Для сравнения с круглым капилляром введем  $a_{\text{eff}}$  для совпадения потерь

$$\gamma = \frac{1}{a_{\text{eff}}} \left( \frac{2.405}{k_0 a_{\text{eff}}} \right)^2 \frac{n^2 + 1}{2\sqrt{n^2 - 1}}, \quad \eta = \exp(-2\gamma z).$$

Полагая поле эллипсоидальным, получаем оценки

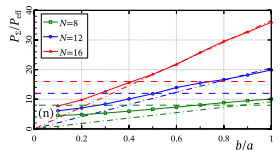
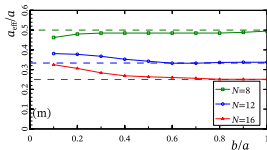
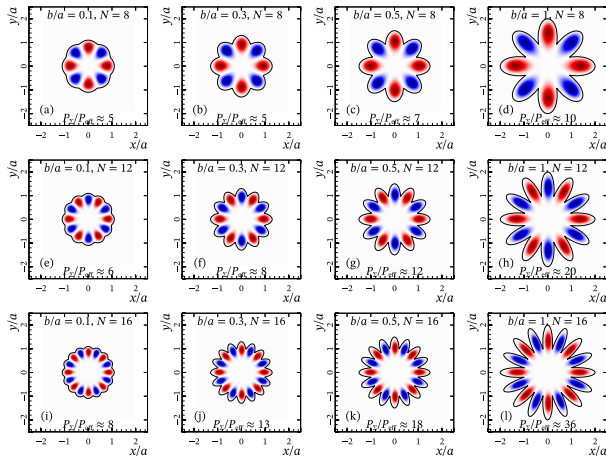
$$a_{\text{eff}} \approx \frac{\pi a}{N}, \quad \frac{P_{\Sigma}}{P_{\text{eff}}} \approx \frac{N}{2} \frac{\pi b a_{\text{eff}}}{\pi a_{\text{eff}}^2} \approx \frac{N^2 b}{2\pi a}.$$

## Конфигурация ромашка

Расчеты дают  
оценки

$$a_{\text{eff}} \approx \frac{4a}{N},$$

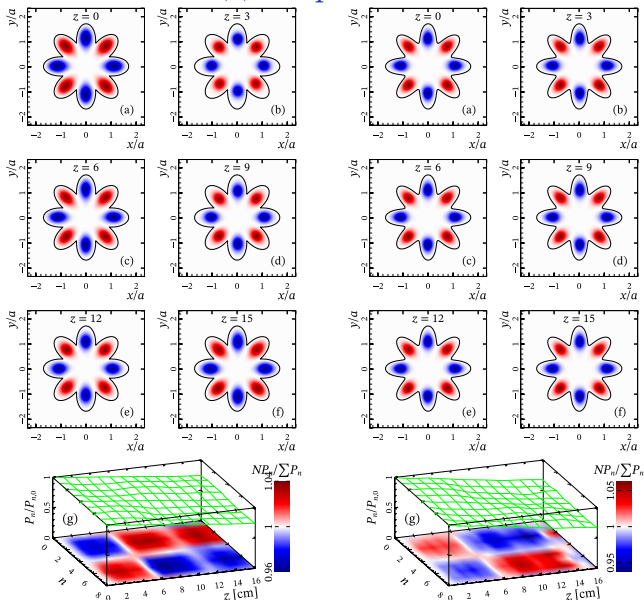
$$\frac{P_{\Sigma}}{P_{\text{eff}}} \approx \frac{N^2 b}{7 a}.$$





## Устойчивость моды в ромашке

Численное моделирование нелинейного уравнения показало устойчивую транспортировку  $8 \times 62 = 496$  ГВт ( $P \geq 5P_{cr}$ ) пучка на трассе в десятки сантиметров.



## Выводы

- Требуются МСФ из конечного числа сердцевин.
- Синфазные поля приводят к самозахвату.
- Противофазные супермоды всегда устойчивы.
- Найдены устойчивые противофазные солитоны.
- Кольцевые МСФ удобны в аналитике, но склонны к деформациям при изготовлении.
- Квадратные МСФ дают наиболее плотную упаковку сердцевин, но противофазная супермода неоднородна.
- Можно обобщить даже на газонаполненные капилляры.

Спасибо за внимание!

## Публикации

Coherent propagation of high-power wave beams in hollow gas-filled daisy-shaped waveguides *PRA* **110**, 053511 (2024)

Ultra-broadband frequency shifting of laser pulses in a square multicore chalcogenide fiber *Opt.Lett.* **49**, 1500-1503 (2024)

Stable few-cycle out-of-phase solitons in a rectangular multi-core fiber *Opt.Lett.* **48**, 6208-6211 (2023)

Out-of-phase solitons in multicore fibers of one-dimensional and square lattices of weakly coupled cores *PRA* **108**, 053503 (2023)

Динамика самовоздействия волновых полей в многосердцевинных волокнах *Изв.ВУЗов Радиобезика* **66**, 406-446 (2023)

Tapered Multicore Fiber for High-Power Laser Amplifiers *Photonics* **14**, 1505606 (2022)

Ultrawide shifting of the laser pulse wavelength in a multicore tellurite fiber with two zero-dispersion wavelengths *PRA* **104**, 033518 (2021)

Out-of-phase few-cycle solitons in multicore fibers *PRA* **104**, 023522 (2021)

Coherent amplification of high-power laser radiation in multicore fibers from a rectangular array of cores *Opt.Lett.* **46**, 246-249 (2021)

Coherent propagation of powerful out-of-phase wave beams in linear arrays of weakly coupled cores *EPL* **132**, 54001 (2021)

Coherent propagation and amplification of intense wave beams in a deformed multicore fiber *PRA* **102**, 023527 (2020)

Microstructured fibers based on tellurite glass for nonlinear conversion of Mid-IR ultrashort optical pulses *Photonics* **7**, 51 (2020)

Coherent propagation and amplification of intense laser pulses in hexagonal multicore fibers *Opt.Lett.* **45**, 3224-3227 (2020)

Multicore-fiber solitons and laser-pulse self-compression at light-bullet excitation in the central core of multicore fibers *PRA* **100**, 053830 (2019)

Stability of out-of-phase solitons and laser pulse self-compression in active multicore fibers *PRA* **100**, 053834 (2019)

Laser pulse compression up to few-cycle durations in multicore fiber *Opt.Lett.* **44**, 5085-5088 (2019)

Coherent propagation of laser beams in a small-sized system of weakly coupled optical light guides *PRA* **98** (4), 043857 (2018)

Self-action of a wave field in one-dimensional system of weakly coupled active optical waveguides *Quantum Electr.* **48**, 720 (2018)

Self-compression of laser pulses in an active system of weakly-coupled light guides *Laser Phys.* **28**, 105401 (2018)

Self-compression of spatially limited laser pulses in a system of coupled light-guides *Laser Phys.* **28**, 045401 (2018)

Collapse of the wave field in a one-dimensional system of weakly coupled light guides *PRA* **94**, 063806 (2016)